

УДК 539.374.001.8.621.7-111

В.В. Чигиринский, д.т.н., проф., А.Ф. Бичевой, В.И. Дубина, к.т.н., М.В. Чигиринский  
Запорожский НТУ, г. Запорожье

## АНАЛИТИЧЕСКОЕ ОПРЕДЕЛЕНИЕ МОДЕЛИ РЕАЛЬНОЙ ПЛАСТИЧЕСКОЙ СРЕДЫ

### ВВЕДЕНИЕ

Напряженное состояние пластической среды во многом определяется распределением напряжения текучести в зоне течения металла. В настоящее время существует ряд работ, в которых есть экспериментальные данные для ряда марок сталей и сплавов, позволяющих определить средний предел текучести в очаге деформации [1]...[3].

Расчет напряженного состояния сводится к определению влияния контактного трения или внешних зон с учетом среднего напряжения текучести [4]...[5]. Однако экспериментальные данные показывают, что напряжение текучести переменное в очаге деформации. Это позволяет предположить, что его определение должно учитывать влияние термомеханических параметров в каждой точке очага деформации. При таком подходе необходимо знать математическую модель реальной пластической среды.

Для решения этой задачи воспользуемся методом гармонических функций, который изложен в ряде работ [6].

### ПОСТАНОВКА ЗАДАЧИ

Особенностью метода является то, что поставлена и решена плоская задача теории пластичности в замкнутом виде. Имеем:

$$\text{уравнения равновесия} \quad \frac{\partial \sigma_x}{\partial x} + \frac{\partial \tau_{xy}}{\partial y} = 0; \quad \frac{\partial \tau_{yx}}{\partial x} + \frac{\partial \sigma_y}{\partial y} = 0; \quad (1a)$$

$$\text{условие пластичности} \quad (\sigma_x - \sigma_y)^2 + 4 \cdot \tau_{xy}^2 = 4 \cdot k^2; \quad (1b)$$

$$\text{уравнения связи для} \quad \frac{\sigma_x - \sigma_y}{2 \cdot \tau_{xy}} = \frac{\xi_x - \xi_y}{\gamma_{xy}} = F_1; \quad \frac{\sigma_x + \sigma_y}{2 \cdot \tau_{xy}} = \frac{\varepsilon_x + \varepsilon_y}{\gamma_{xy}} = F_2; \quad (1в)$$

$$\text{уравнения несжимаемости} \quad \xi_x + \xi_y = 0; \quad \varepsilon_x + \varepsilon_y = 0; \quad (1г)$$

уравнения неразрывности скоростей деформаций и деформаций

$$\frac{\partial^2 \xi_x}{\partial y^2} + \frac{\partial^2 \xi_y}{\partial x^2} = \frac{\partial^2 \gamma_{xy}}{\partial y \partial x}; \quad \frac{\partial^2 \varepsilon_x}{\partial y^2} + \frac{\partial^2 \varepsilon_y}{\partial x^2} = \frac{\partial^2 \gamma_{xy}}{\partial y \partial x}; \quad (1д)$$

$$\text{уравнение теплопроводности} \quad \frac{\partial T}{\partial t} = a^2 \left( \frac{\partial^2 T}{\partial x^2} + \frac{\partial^2 T}{\partial y^2} \right), \quad (1e)$$

$$\text{Модель сложной пластической среды} \quad T_i = \chi \cdot (H_i)^{m_1} \cdot (\Gamma_i)^{m_2} \cdot (T)^{m_3}, \quad (1ж)$$

В систему (1) включены уравнения деформационной теории пластичности и теории течения. Кроме этого добавлено уравнение теплопроводности. Уравнения связи напряжений, скоростей деформаций и деформаций показывают, что напряжения должны реагировать, как на деформационные, так и на скоростные параметры процесса. Модель (1) - это реальная упрочняющаяся среда. Граничные условия для напряжений

$$\tau_n = -T_i \cdot \sin[\Delta\Phi - 2\alpha], \quad T_i = k$$

или

$$\tau_n = \left( \frac{\sigma_x - \sigma_y}{2} \cdot \sin 2\alpha - \tau_{xy} \cdot \cos 2\alpha \right), \quad (2)$$

Для получения модели (1ж) рассмотрим три уравнения второго порядка в частных производных, неоднородных, гиперболического типа, граничные условия вида (2) будут удовлетворены, если  $\tau_{xy} = k \cdot \sin \Delta\Phi$ . Для сложной пластической среды задача решается с учетом того, что имеет место сложная зависимость от координат, т.е.  $k = f(\Gamma_i, H_i, T, x, y)$ . При этом  $k = C_\sigma \cdot \exp \theta'$ , где  $\theta' = f(\Gamma_i, H_i, T, x, y)$ .

После преобразований получения обобщенного уравнения равновесия и подстановки в получим

$$\begin{aligned} & \left\{ \left( \theta'_n H'_{ix} + \theta'_2 \Gamma'_{ix} + \theta'_t T'_x \right)_x + \left[ \left( \theta'_n H'_{ix} + \theta'_2 \Gamma'_{ix} + \theta'_t T'_x \right) + A\Phi_y \right]_y - \right. \\ & \left. - \left( \theta'_n H'_{iy} + \theta'_2 \Gamma'_{iy} + \theta'_t T'_y \right)_y - \left[ \left( \theta'_n H'_{iy} + \theta'_2 \Gamma'_{iy} + \theta'_t T'_y \right) - A\Phi_x \right]_x + 2A\Phi_{xy} \right\} \cdot \\ & \cdot \sin(\Delta\Phi) + \left\{ 2 \cdot \left[ \left( \theta'_n H'_{ix} + \theta'_2 \Gamma'_{ix} + \theta'_t T'_x \right) + A\Phi_y \right] \cdot \left[ A\Phi_x - \left( \theta'_n H'_{iy} + \theta'_2 \Gamma'_{iy} + \theta'_t T'_y \right) \right] + \right. \\ & \left. + A\Phi_{xx} - A\Phi_{yy} - 2 \cdot \left( \theta'_{nn} \cdot H'_{ix} \cdot H'_{iy} + \theta'_n \cdot H'_{ixy} + \theta'_{22} \cdot \Gamma'_{ix} \cdot \Gamma'_{iy} + \theta'_2 \cdot \Gamma'_{ixy} + \right. \right. \end{aligned}$$

$$+\theta'_i \cdot T_x \cdot T_y + \theta'_i \cdot T_{xy}) \cdot \cos(A\Phi) = 0. \quad (3)$$

Имея соотношения  $\theta'_x = (\theta'_i H_{ix} + \theta'_i \tilde{A}_{ix} + \theta'_i T_x) = -A\Phi_y$

$$\theta'_y = (\theta'_i H_{iy} + \theta'_i \tilde{A}_{iy} + \theta'_i T_y) = A\Phi_x$$

можно показать, что  $\theta' = \theta'_1 + \theta'_2 + \theta'_3$ .

$$\theta' = -A\theta = \theta'_1 + \theta'_2 + \theta'_3 = -(A'_1\theta + A'_2\theta + A'_3\theta),$$

отсюда  $A = A'_1 + A'_2 + A'_3$ , где  $A'_1, A'_2, A'_3$  - постоянные величины, определяющие влияние скорости, степени деформации и температуры. Выражения, стоящие в квадратных скобках оператора (3) представляют собой соотношения Коши-Римана. Перейдя ко вторым производным убеждаемся, что функции  $\theta'$  и  $\Phi$  являются гармоническими.

Спротивление сдвигу и составляющие тензора напряжений

$$k = C_\sigma \cdot \exp(-A'_1\theta) \cdot \exp(-A'_2\theta) \cdot \exp(-A'_3\theta), \quad (4a)$$

$$\tau_{xy} = C_\sigma \cdot \exp(-A'_1\theta) \cdot \exp(-A'_2\theta) \cdot \exp(-A'_3\theta) \cdot \sin(A\Phi), \quad (4б)$$

$$\sigma_x = C_\sigma \cdot \exp(-A'_1\theta) \cdot \exp(-A'_2\theta) \cdot \exp(-A'_3\theta) \cdot \cos(A\Phi) + \sigma_0 + f(y) + C \quad (4в)$$

$$\sigma_y = -C_\sigma \cdot \exp(-A'_1\theta) \cdot \exp(-A'_2\theta) \cdot \exp(-A'_3\theta) \cdot \cos(A\Phi) + \sigma_0 + f(x) + C, \quad (4г)$$

$$\text{при } \theta'_x = (\theta'_1)_x + (\theta'_2)_x + (\theta'_3)_x = -A\Phi_y,$$

$$\theta'_y = (\theta'_1)_y + (\theta'_2)_y + (\theta'_3)_y = A\Phi_x.$$

Перейдем к рассмотрению деформационной задачи

$$\frac{\sigma_x - \sigma_y}{2 \cdot \tau_{xy}} = ctg A\Phi; \quad \frac{\xi_x - \xi_y}{\gamma_{xy}} = ctg B_1\Phi; \quad \frac{\varepsilon_x - \varepsilon_y}{\gamma_{xy}} = ctg B_2\Phi.$$

С учетом уравнений несжимаемости и уравнений связи определим сдвиговые составляющие, а затем линейные имеем  $\xi_x = -\xi_y = C_\xi \cdot \exp\theta_1'' \cdot \cos B_1\Phi$ ;

$$\varepsilon_x = -\varepsilon_y = C_\varepsilon \cdot \exp\theta_2'' \cdot \cos B_2\Phi.$$

Подставляя последние соотношения в уравнения неразрывности скоростей деформаций и деформаций (1д), с учетом (1г) получим

$$\begin{aligned} & \left[ -\theta''_{1xx} - (\theta''_{1x} + B_1\Phi_y)^2 + \theta''_{1yy} + (\theta''_{1y} - B_1\Phi_x) \right] \cdot \sin B_1\Phi + \\ & + \left[ 2 \cdot (B_1\Phi_x - \theta''_{1y}) \cdot (\theta''_{1x} + B_1\Phi_y) + (B_1\Phi_{xx} - B_1\Phi_{yy}) \right] \cdot \cos B_1\Phi = \quad (5) \\ & = 2 \cdot B_1\Phi_{xy} \cdot \sin B_1\Phi + 2 \cdot \theta''_{1xy} \cdot \cos B_1\Phi, \end{aligned}$$

также

$$\begin{aligned} & \left[ -\theta''_{2xx} - (\theta''_{2x} + B_2\Phi_y)^2 + \theta''_{2yy} + (\theta''_{2y} - B_2\Phi_x) \right] \cdot \sin B_2\Phi + \\ & + \left[ 2 \cdot (B_2\Phi_x - \theta''_{2y}) \cdot (\theta''_{2x} + B_2\Phi_y) + (B_2\Phi_{xx} - B_2\Phi_{yy}) \right] \cdot \cos B_2\Phi = \quad (6) \\ & = 2 \cdot B_2\Phi_{xy} \cdot \sin B_2\Phi + 2 \cdot \theta''_{2xy} \cdot \cos B_2\Phi, \end{aligned}$$

Уравнения (5) и (6) формально напоминают (3). Появляются аналогичные скобки. Это позволяет получить тождества для функций  $\xi_x$  и  $\varepsilon_x$  в уравнениях неразрывности при условии

$$(\theta''_1)_x = -B_1\Phi_y, \quad (\theta''_1)_y = B_1\Phi_x, \quad (\theta''_2)_x = -B_2\Phi_y, \quad (\theta''_2)_y = B_2\Phi_x,$$

Выражения для скоростей деформаций и деформаций имеют вид

$$\xi_x = -\xi_y = C_\xi \cdot \exp\theta_1'' \cdot \cos B_1\Phi = C_\xi \cdot \exp(-B_1\theta) \cdot \cos B_1\Phi, \quad (7a)$$

$$\gamma_{xy} = 2C_\xi \cdot \exp\theta_1'' \cdot \sin B_1\Phi = 2C_\xi \cdot \exp(-B_1\theta) \cdot \sin B_1\Phi, \quad (7б)$$

$$H_i = 2C_\xi \cdot \exp\theta_1'' = 2C_\xi \cdot \exp(-B_1\theta), \quad (7в)$$

и

$$\varepsilon_x = -\varepsilon_y = C_\varepsilon \cdot \exp\theta_2'' \cdot \cos B_2\Phi = C_\varepsilon \cdot \exp(-B_2\theta) \cdot \cos B_2\Phi, \quad (8a)$$

$$\gamma_{xy} = 2C_\varepsilon \cdot \exp\theta_2'' \cdot \sin B_2\Phi = 2C_\varepsilon \cdot \exp(-B_2\theta) \cdot \sin B_2\Phi, \quad (8б)$$

$$\Gamma_i = 2C_\varepsilon \cdot \exp\theta_2'' = 2C_\varepsilon \cdot \exp(-B_2\theta), \quad (8в)$$

при  $(\theta_1)_y = B_1\Phi_x$ ,  $(\theta_1)_x = -B_1\Phi_y$ ,  $(\theta_2)_y = B_2\Phi_x$ ,  $(\theta_2)_x = -B_2\Phi_y$ .

Сопоставляя формулы (7), (8) и (4), убеждаемся, что во всех выражениях имеют место функции от координат  $\theta$  и  $\Phi$ . Поля напряжений, скоростей деформаций и деформаций согласуются присутствием указанных функций.

Рассмотрим температурную задачу, решение которой также может определяться указанными выше зависимостями. Дифференциальное уравнение для стационарного температурного поля  $\frac{\partial^2 T}{\partial x^2} + \frac{\partial^2 T}{\partial y^2} = 0$ . Решение определяется в виде

$$T = C_T \cdot \exp(\theta_3) \cdot (\sin B_3\Phi + \cos B_3\Phi), \quad (9)$$

Покажем, что (9) является решением уравнения Лапласа. Подставив производные в уравнение теплопроводности, после упрощений, получим

$$\begin{aligned} & \left\{ (\theta_3)_{xx} + [(\theta_3)_x + B_3\Phi_y] \cdot [(\theta_3)_x - B_3\Phi_y] + (\theta_3)_{yy} + [(\theta_3)_y + B_3\Phi_x] \cdot \right. \\ & \left. [(\theta_3)_y - B_3\Phi_x] \right\} \cdot (\sin B_3\Phi + \cos B_3\Phi) + \left[ 2 \cdot (\theta_3)_x \cdot B_3\Phi_x + B_3\Phi_{xx} + 2 \cdot \right. \\ & \left. (\theta_3)_y \cdot B_3\Phi_y + B_3\Phi_{yy} \right] \cdot (\cos B_3\Phi - \sin B_3\Phi) = 0. \end{aligned} \quad (10)$$

Как и ранее, в уравнении (10) появляются скобки,  $[(\theta_3)_x + B_3\Phi_y]$ ,  $[(\theta_3)_y - B_3\Phi_x]$ , которые являются результатом преобразований нелинейных операторов, стоящих при тригонометрических функциях. Если положить указанные скобки равными нулю,  $(\theta_3)_x = -B_3\Phi_y$ ,  $(\theta_3)_y = B_3\Phi_x$ , то дифференциальное уравнение (10) превращается в тождество. Для температурной задачи  $\theta_3 = -B_3\theta$ . Интенсивности и температура задаются параметрически от одинаковых координатных функций. Деформационные параметры и температуру математически можно выразить через единую зависимость. Таким образом,

$$\exp(-\theta) = \left( \frac{H_i}{2 \cdot C_\xi} \right)^{B_1} = \left( \frac{\Gamma_i}{2 \cdot C_\varepsilon} \right)^{B_2} = \left( \frac{T}{C_T \cdot (\sin B_3\Phi + \cos B_3\Phi)} \right)^{B_3}.$$

Подставляя в выражение для сопротивления деформации  $k = T_i$ , получим

$$\begin{aligned} k &= C'_\sigma \cdot (2 \cdot C_{\sigma 1} \cdot C_\xi)^{m_1} \cdot (2 \cdot C_{\sigma 2} \cdot C_\varepsilon)^{m_2} \cdot (C_{\sigma 3} \cdot C_T)^{m_3} \cdot \\ & \cdot (H_i)^{m_1} (\Gamma_i)^{m_2} (T)^{m_3}, \end{aligned} \quad (11)$$

при  $T = C_T \cdot \exp(\theta_3) \cdot \cos B_3\Phi$ ,

где  $m_1 = \frac{A_1}{B_1}$ ,  $m_2 = \frac{A_2}{B_2}$ ,  $m_3 = \frac{A_3}{B_3}$ .

Тогда  $T_i = \chi \cdot (H_i)^{m_1} \cdot (\Gamma_i)^{m_2} \cdot (T)^{m_3}$ . При этом  $B_1 = B_2 = B_3 = A$ .

Модель (1ж) можно скорректировать

$$k = C'_\sigma \cdot (H_i)^{m_1} \cdot (\Gamma_i)^{m_2} \cdot (T)^{m_3} \cdot \exp \theta'_4 \quad (12)$$

Выражение (12) является составной частью решения (4а), если его привести к виду, используя фундаментальную подстановку. Отличается от (4а), выражением  $\exp \theta'_4$ , тогда

$$k = C'_\sigma \cdot \exp \theta'_1 \cdot \exp \theta'_2 \cdot \exp \theta'_3 \cdot \exp \theta'_4 = C'_\sigma \cdot \exp \theta', \quad (13)$$

где  $\theta' = \theta'_1 + \theta'_2 + \theta'_3 + \theta'_4$ ,  $\theta'_1 = -A_1\theta$ ,  $\theta'_2 = -A_2\theta$ ,  $\theta'_3 = -A_3\theta$ ,  $\theta'_4 = -A_4\theta$

или  $\theta' = (A_1 + A_2 + A_3 + A_4) \cdot \theta = A \cdot \theta$ .

Для (13) имеют место те же соотношения Коши-Римана  $\theta'_x = -A\Phi_y$ ,  $\theta'_y = A\Phi_x$ . Выражение для температурной задачи представляется в общем виде, чем для (9)

$$T = \exp(\theta'_3) \cdot (C'_T \cdot \sin B_3\Phi + C''_T \cdot \cos B_3\Phi), \quad (14)$$

тогда

$$k = C'_\sigma \cdot (H_i)^{B_1} (\tilde{A}_i)^{B_2} \cdot (T)^{B_3} \cdot \exp \theta'_4,$$

где  $C'_\sigma$  - постоянная величина, куда вошли значения  $C_\xi, C_\varepsilon$ . При этом,

$$m_1 = \frac{A'_1}{B_1}, \quad m_2 = \frac{A'_2}{B_2}, \quad m_3 = \frac{A'_3}{B_3}, \quad k = C'_\sigma \cdot (H_i)^{m_1} (\tilde{A}_i)^{m_2} (T)^{m_3} \cdot \exp \theta'_4.$$

В литературе известны аналогичные модели, но полученные на основании экспериментальных исследований в условиях однородного напряженного и деформированного состояний [148]. Для разных марок стали предел

текучности  $\sigma_T$  в зависимости от интегральных параметров: скорости деформации  $U$ , степени деформации  $\varepsilon$ , температуры  $T_f$ , имеет вид

$$\sigma_T = S \cdot \sigma_o \cdot U^a \cdot (10 \cdot \varepsilon)^b \cdot \left(\frac{T_o}{1000}\right)^c \quad (15)$$

Используя (12), и выражение (15), как своеобразное граничное условие, можно получить распределение предела текучности по объему очага деформации в зависимости от распределения скорости деформации, степени деформации и температуры. В этом случае формулу Андreyока-Тюленева следует представить как частный случай выражения (12). Это можно сделать, если предположить, что (15) соответствует однородному напряженно-деформируемому состоянию. В реальных процессах ОМД такое явление имеет место при отсутствии контактного трения. При подстановке в (12) значений из (8),(9) и  $C_T' = 0$  с учетом  $A\Phi = \theta' = 0$ , получим

$$k = C_\sigma \cdot (2 \cdot C_{\sigma 1} \cdot C_\xi)^{m_1} \cdot (2 \cdot C_{\sigma 2} \cdot C_\varepsilon)^{m_2} \cdot (C_{\sigma 3} \cdot C_T^n)^{m_3} \quad (16)$$

Из граничных условий можно получить  $C_\sigma = \frac{k_o}{\exp \theta_o \cdot \text{Cos} A\Phi_o}$ ,

Выражение (17) структурно аналогично (16). Следовательно

$$k_o = \frac{S \cdot \sigma_o}{\sqrt{3}}, \quad 2 \cdot C_{\sigma 1} \cdot C_\xi = U, \quad 2 \cdot C_{\sigma 2} \cdot C_\varepsilon = 10\varepsilon, \quad C_{\sigma 3} \cdot C_T^n = \frac{T_o}{1000}$$

$$m_1 = a, \quad m_2 = b, \quad m_3 = c.$$

Следует подчеркнуть, что  $U, \varepsilon, T_o$  средние величины по очагу деформации. Определим постоянные величины  $C_\xi, C_\varepsilon, C_T^n$ . Сопоставляя значения формул (15) и (16) запишем для  $k$ , с учетом всех изменений

$$k = \frac{S \cdot \sigma_o}{\sqrt{3} \cdot \exp \theta_o \cdot \text{Cos} A\Phi_o} \cdot (U \cdot \alpha_\xi)^a \cdot (10 \cdot \varepsilon \cdot \alpha_\varepsilon)^b \cdot \left(\frac{T}{1000} \cdot \alpha_T\right)^c \cdot \exp \theta'_4, \quad (17)$$

где  $\alpha_\xi = \frac{\exp(-\theta'_1)}{I_1}$ ,  $\alpha_\varepsilon = \frac{\exp(-\theta'_2)}{I_2}$ ,  $\alpha_T = \frac{\exp(-\theta'_3)}{I_3}$ ,

где  $I_1, I_2, I_3$  - соответствующие интегралы по объему от экспонент.

Используя выражение (17), из уравнений равновесия можно получить формулы для определения нормальных напряжений  $\sigma_x$  и  $\sigma_y$ , действительно

$$\sigma_x = k' \cdot \exp \theta'_4 \cdot \text{Cos}(A\Phi) + \sigma_0 + f(y) + C, \quad \sigma_y = -k' \cdot \exp(-A_4\theta) \cdot \text{Cos}(A\Phi) + \sigma_0 + f(x) + C, \quad (18)$$

$$\tau_{xy} = k' \cdot \exp \theta'_4 \cdot \text{Sin} A\Phi,$$

где  $k' = \frac{S \cdot \sigma_o}{\sqrt{3} \cdot \exp \theta_o \cdot \text{Cos} A\Phi_o} \cdot (U \cdot \alpha_\xi)^a \cdot (10 \cdot \varepsilon \cdot \alpha_\varepsilon)^b \cdot \left(\frac{T}{1000} \cdot \alpha_T\right)^c$ .

Значения постоянных величин в (17) представлены в работе [4] (экспериментальные данные Андreyока, Тюленева).

Вариант гармонических функций функций  $A\Phi$ ,  $\theta'$  т.е.

$$A\Phi = AA_6 \cdot x \cdot y, \quad \theta' = -\frac{1}{2} \cdot AA_6 (x^2 - y^2). \quad (19)$$

Используя выражения (18),(19) были подсчитаны напряжения при разных значениях степени, скорости деформации, температуры для разных марок стали, рис.1...4

Решение реагирует на коэффициент трения и фактор формы, как для нормальных, так и касательных напряжений, плавно переходящих через ноль в области нейтральной оси на контакте. На рис.1 показано распределение напряжений при различной степени деформации для Ст3 сп.

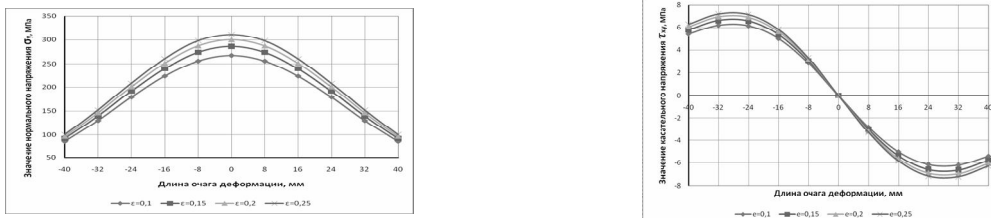


Рис.1. Распределение нормальных и касательных напряжений на контакте в зависимости от степени деформации при

$$f = 0.3, \quad l/h = 5, \quad U = 10c^{-1}, \quad T = 1000^\circ C$$

Анализ показывает, что марка стали и величина обжата  $\mathcal{E}$  изменяют характер распределения напряжений в зоне течения металла. Для той же марки стали получено распределение напряжений на контакте при разных скоростях деформации, рис.2. При горячей обработке температурный фактор является определяющим. Он также характеризует распределение напряжений в объеме деформируемого материала, рис.3. Разные марки стали представлены на рис.4.

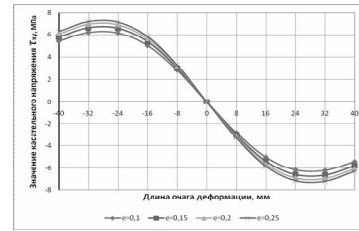
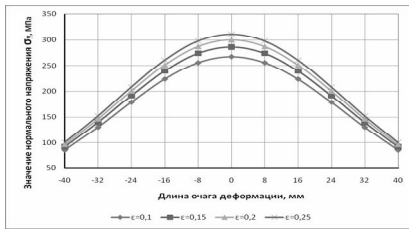


Рис.1. Распределение нормальных и касательных напряжений на контакте в зависимости от степени деформации при  $f = 0.3, l/h = 5, U = 10c^{-1}, T = 1000^{\circ}C$

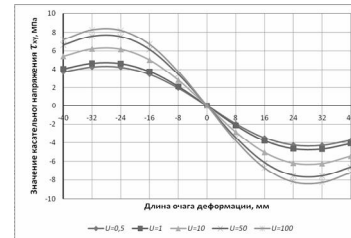
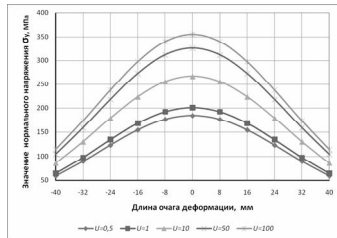


Рис.2. Распределение нормальных и касательных напряжений на контакте в зависимости от скорости деформации  $U$  при  $f = 0.3, l/h = 5, \epsilon = 0.1, T = 1000^{\circ}C$

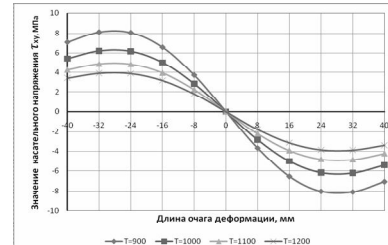
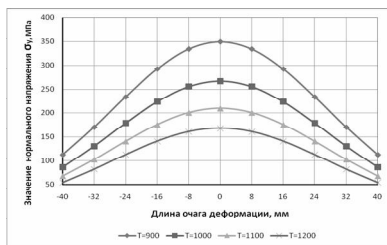


Рис.3. Распределение нормальных и касательных напряжений на контакте в зависимости от температуры при  $f = 0.3, l/h = 5, U = 10c^{-1}, \epsilon = 0.1$ .

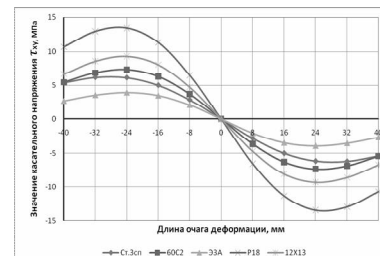
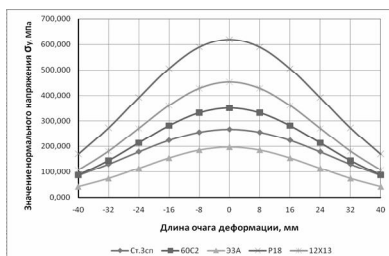


Рис.4. Распределение нормальных и касательных напряжений на контакте для разных марок стали при  $f = 0.3, l/h = 5, \epsilon = 0.1, U = 10c^{-1}, T = 1000^{\circ}C$

### Выводы

Помимо влияния контактного трения и фактора формы появляется возможность аналитически учитывать распределение напряжения текучести не только на контактной поверхности, но и во всех точках очага деформации в зависимости от термомеханических параметров процесса. Это делает расчет напряженного состояния пластической среды более достоверным, и, при известных деформационных и температурных полях возможности расчета становятся перспективными с точки зрения прогнозирования механических свойств полосы по объему очага деформации.

### Список литературы

1. Динник А.А. Истинные пределы текучести стали при высоких температурах и скоростях деформации. В сб. «Обработка металлов давлением», вып. 39, Металлургиздат, 1960.
2. Соколов А.А. Сопrotивление металлов пластической деформации. М.: Металлургиздат, -1963.-284 с.
3. Андreyuk Л.В., Тюленев Г.П. // Сталь.-1972.-№9.-с. 825..828.
4. Целиков А.И.. Теория расчета усилий в прокатных станах.М.: Металлургиздат,1962.- 494 с.
5. Чекмарев А.П., Нефедов А.А, Николаев В.А.. Теория продольной прокатки.-Харьков: Изд-во Харьковского государственного ун-та,1965.-206 с.
6. Чигиринский В.В. Метод решения задач теории пластичности с использованием гармонических функций// Изв вузов. Черная металлургия.- 2009.- №5.- с. 11-16.